

## 7.1 动态系统稳定性的基本概念

### 1. 李雅普诺夫意义下的稳定 (低频振荡、次同步振荡)

$\|x_0 - x_{\text{ell}}\| < \delta(\varepsilon, t_0)$      $\|\dot{x}(t; x_0, t_0) - \dot{x}_{\text{ell}}\| < \varepsilon, t > t_0$ .  $x_{\text{ell}}$  为李雅普诺夫意义下的稳定  
 $\delta$  的取值与  $t_0$  无关, 则称  $x_0$  是一致稳定的

$\varepsilon \downarrow, \delta \downarrow$

### 2. 渐近稳定

$$\lim_{t \rightarrow \infty} \|\dot{x}(t; x_0, t_0) - \dot{x}_{\text{ell}}\| = 0$$

### 3. 大范围渐近稳定

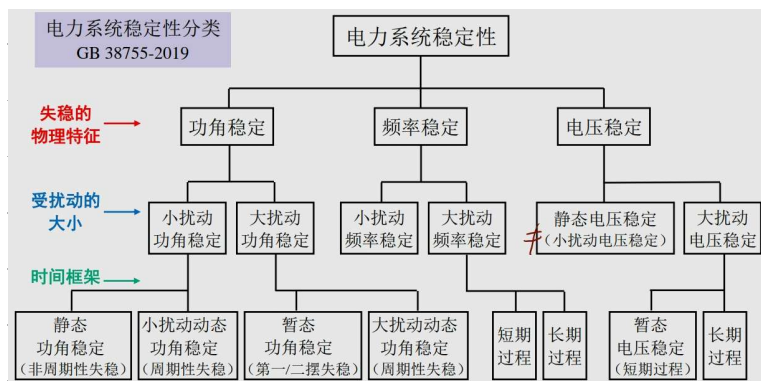
任一非平衡初始状态  $x_0$  满足  $\lim_{t \rightarrow \infty} \|\dot{x}(t; x_0, t_0) - \dot{x}_{\text{ell}}\| = 0$

### 4. 不稳定

找不到  $\delta(\varepsilon, t_0) > 0$ , 使满足  $\|x_0 - x_{\text{ell}}\| < \delta(\varepsilon, t_0)$  的任一  $x_0$  满足  $\|\dot{x}(t; x_0, t_0) - \dot{x}_{\text{ell}}\| < \varepsilon$

## 7.2 电力系统稳定性概述

$$\begin{aligned} DAE: \frac{dx}{dt} &= f(x, y) & \text{平衡状态: } & \begin{cases} 0 = f(x_e, y_e) \\ 0 = g(x_e, y_e) \end{cases} \end{aligned}$$



## 1. 功角稳定

静态功角稳定

暂态功角稳定

动态(功角)稳定 [小扰动动态(功角)稳定

大扰动动态(功角)稳定

## 2. 定压稳定

[小扰动电压稳定

大扰动电压稳定 [短期(暂态) 快速

长期

响应较慢

## 3. 频率稳定

电力系统稳定性分析的方法

小干扰 在平衡点线性化

大干扰 数值积分

## 7.3 同步发电机组的机电模型

### 7.3.1 同步发电机组的转子运动方程

$$J\ddot{\alpha} = \Delta M = M_T - M_E \quad \alpha = \frac{d\gamma}{dt} \quad \gamma = \omega / p \quad \frac{d\delta}{dt} = \omega - \omega_0 \quad \frac{d\omega}{dt} = \frac{d^2\theta}{dt^2} = \frac{d^2\delta}{dt^2}$$

$$\int J \frac{d\alpha}{dt} = \int \frac{dM}{dt} = \int \frac{d^2\delta}{dt^2} = \Delta M$$

$$\frac{T_I}{w_0} \cdot \frac{d\omega}{dt} = \Delta M_* \quad H = T_I / 2 \quad \frac{2H}{w_0} \cdot \frac{d\omega}{dt} = \Delta M_*$$

$\omega$  变化不大时,  $\Delta M_* \approx \Delta P_*$

$$\frac{d\delta}{dt} = (w_0 - 1) w_0 \quad \frac{T_I}{w_0} \cdot \frac{d^2\delta}{dt^2} = P_T - P_E$$

$$\frac{d\omega}{dt} = \frac{1}{T_J} (P_T - P_E)$$

## 7.3.2 同步发电机的电磁功率

$$M_E = i_q \psi_d - i_d \psi_q$$

假设

① 机组转速接近同步转速，在定子电压方程中认为  $\omega = \omega_0 = 1$ ;  $P_E = M_E w = M_E = i_q \psi_d - i_d \psi_q$

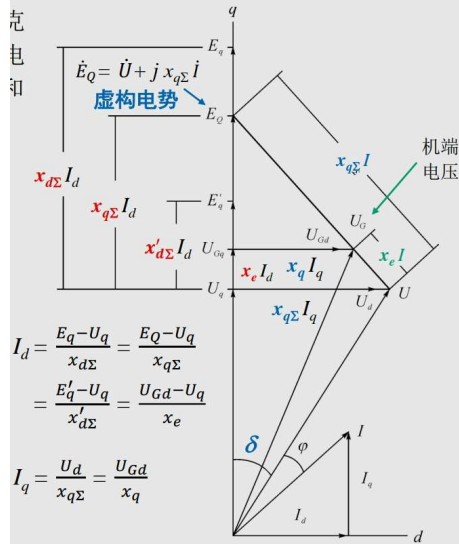
② 不计定子绕组的电磁暂态过程，即  $\frac{d\psi_d}{dt} = \frac{d\psi_q}{dt} = 0$ ;

③ 忽略定子绕组的电阻，即  $r = 0$ ;

④ 不计阻尼绕组的影响（忽略次暂态，只考虑暂态）。

$$\begin{cases} U_d = \frac{d\psi_d}{dt} - \omega \psi_q - r i_d \\ U_q = \frac{d\psi_q}{dt} + \omega \psi_d - r i_q \end{cases} \Rightarrow \begin{cases} U_d = -\psi_q \\ U_q = \psi_d \end{cases}$$

$$P_E = i_q U_d + i_d U_q$$

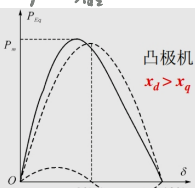


1.  $E_q$  和同步电抗表示的功率表达式

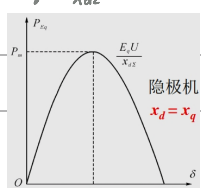
$$U_d = x_{q\Sigma} I_q \quad U_q = E_q - x_{d\Sigma} I_d \quad \Rightarrow \begin{cases} I_d = \frac{E_q - U_q}{x_{d\Sigma}} \\ I_q = \frac{U_d}{x_{q\Sigma}} \end{cases}$$

空载电势  $\frac{x_{d\Sigma}}{x_{q\Sigma}}$

$$P_{E_d} = \frac{E_d U}{x_{d\Sigma}} \sin \delta + \frac{U^2}{2} \frac{x_d - x_q}{x_{d\Sigma} \cdot x_{q\Sigma}} \sin 2\delta$$



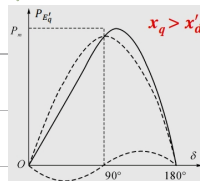
$$P_{E_d} = \frac{E_d U}{x_{d\Sigma}} \sin \delta$$



## 2. 以 $E'_q$ 和暂态电抗表示的功率表达式

$$\begin{cases} U_d = X_{q\Sigma} I_q \\ U_q = E'_q - X'_{d\Sigma} I_d \end{cases} \Rightarrow \begin{cases} I_d = \frac{E'_q - U_q}{X'_{d\Sigma}} \\ I_q = \frac{U_d}{X_{q\Sigma}} \end{cases}$$

$$P_{E'_q} = \frac{E'_q U}{X'_{d\Sigma}} \sin \delta - \frac{U}{2} \frac{X_q - X'_d}{X'_{d\Sigma} X_{q\Sigma}} \sin 2\delta$$



大于90°处

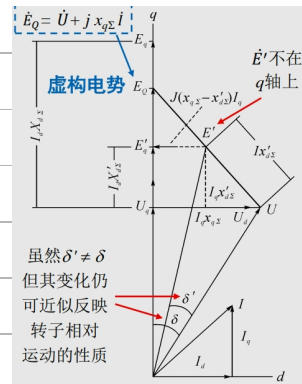
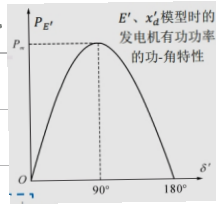
## 3. 以 $E'$ 表示的功率方程

$$\dot{U} = U_d + j U_q = x_{q\Sigma} I_q + j(E'_q - x'_{d\Sigma} I_d) = |\dot{E}'| - j x'_{d\Sigma} \dot{I}$$

暂态电抗后电势

$$\dot{E}' = jE'_q - j(x_{q\Sigma} - x'_{d\Sigma})(jI_q) = \dot{E}'_q - j(x_{q\Sigma} - x'_{d\Sigma})I_q \xrightarrow{x_q = x'_d} \dot{E}' = \dot{E}'_q$$

$$P_{E'} = \frac{E' U}{X'_{d\Sigma}} \sin \delta'$$



## 4. 多机电力系统发电机电磁功率的计算

### (1) $E'、x'_d$ 模型下的发电机电磁功率

$$\begin{matrix} n & m \\ n & m \end{matrix} \begin{bmatrix} Y_{mm} & | & Y_{nm} \\ Y_{mn} & | & Y_{mm} \end{bmatrix} \begin{bmatrix} \dot{U}_1 \\ \vdots \\ \dot{U}_n \end{bmatrix} = \begin{bmatrix} 0 \\ \vdots \\ 0 \end{bmatrix}$$

发电机母线节点  
负荷节点  
联络节点

$$\begin{bmatrix} \dot{U}'_1 \\ \vdots \\ \dot{U}'_m \end{bmatrix} = \begin{bmatrix} I_1 \\ \vdots \\ I_m \end{bmatrix}$$

电势节点

$$\text{消去 } n \text{ 个零注入节点} \quad \begin{bmatrix} Y_{11} & Y_{12} & \cdots & Y_{1m} \\ Y_{21} & Y_{22} & \cdots & Y_{2m} \\ \vdots & \vdots & \ddots & \vdots \\ Y_{m1} & Y_{m2} & \cdots & Y_{mm} \end{bmatrix} \begin{bmatrix} \dot{E}'_1 \\ \dot{E}'_2 \\ \vdots \\ \dot{E}'_m \end{bmatrix} = \begin{bmatrix} \dot{I}_1 \\ \dot{I}_2 \\ \vdots \\ \dot{I}_m \end{bmatrix}$$

$$\begin{aligned} P_i &= \operatorname{Re}(\dot{E}_i \dot{I}_i) = \operatorname{Re}(\dot{E}_i \sum_{j=1}^m \dot{E}_j \frac{\dot{Y}_{ij}}{Y_{jj}}) = E_i \sum_{j=1}^m E_j (G_{ij} \cos \delta_{ij} + B_{ij} \sin \delta_{ij}) \\ &= E_i^2 G_{ii} + E_i \sum_{j=1, j \neq i}^m E_j (G_{ij} \cos \delta_{ij} + B_{ij} \sin \delta_{ij}) \end{aligned} \quad \Rightarrow \quad P_i = E_i^2 G_{ii} + E_i \sum_{j=1, j \neq i}^m E_j |Y_{ij}| \sin(\delta_{ij} + \beta_{ij})$$

# (2) $E'_q$ 、 $x'_d(x_q)$ 模型下的发电机定磁功率 凸

$$P_E = U_{Gx} I_{Gx} + U_{Gy} I_{Gy}$$

$$\begin{bmatrix} U_d \\ U_q \end{bmatrix} = \begin{bmatrix} 0 \\ E'_q \end{bmatrix} - \begin{bmatrix} 0 & -x_q \\ x'_d & 0 \end{bmatrix} \begin{bmatrix} I_d \\ I_q \end{bmatrix}$$

$$\begin{bmatrix} U_d \\ U_q \end{bmatrix} = \begin{bmatrix} \sin \delta & -\cos \delta \\ \cos \delta & \sin \delta \end{bmatrix} \begin{bmatrix} U_{Gx} \\ U_{Gy} \end{bmatrix}$$

$$\begin{bmatrix} I_d \\ I_q \end{bmatrix} = \begin{bmatrix} \sin \delta & -\cos \delta \\ \cos \delta & \sin \delta \end{bmatrix} \begin{bmatrix} I_{Gx} \\ I_{Gy} \end{bmatrix}$$

$$\begin{bmatrix} \sin \delta & -\cos \delta \\ \cos \delta & \sin \delta \end{bmatrix} \begin{bmatrix} U_{Gx} \\ U_{Gy} \end{bmatrix} = \begin{bmatrix} 0 \\ E'_q \end{bmatrix} - \begin{bmatrix} 0 & -x_q \\ x'_d & 0 \end{bmatrix} \begin{bmatrix} \sin \delta & -\cos \delta \\ \cos \delta & \sin \delta \end{bmatrix} \begin{bmatrix} I_{Gx} \\ I_{Gy} \end{bmatrix}$$

$$\begin{bmatrix} I_{Gx} \\ I_{Gy} \end{bmatrix} = \begin{bmatrix} G_x & B_x \\ B_y & G_y \end{bmatrix} \begin{bmatrix} E'_q \cos \delta \\ E'_q \sin \delta \end{bmatrix} - \begin{bmatrix} G_x & B_x \\ B_y & G_y \end{bmatrix} \begin{bmatrix} U_{Gx} \\ U_{Gy} \end{bmatrix} = \begin{bmatrix} I'_{Gx} \\ I'_{Gy} \end{bmatrix} - \begin{bmatrix} G_x & B_x \\ B_y & G_y \end{bmatrix} \begin{bmatrix} U_{Gx} \\ U_{Gy} \end{bmatrix}$$

$$\begin{aligned} G_x &= [(x_q - x'_d) \sin 2\delta] / (2x'_d x_q) & B_x &= [(x_q + x'_d) - (x_q - x'_d) \cos 2\delta] / (2x'_d x_q) \\ G_y &= -G_x & B_y &= -[(x_q + x'_d) + (x_q - x'_d) \cos 2\delta] / (2x'_d x_q) \end{aligned}$$

$$\begin{aligned} \begin{bmatrix} I_{Gx} \\ I_{Gy} \end{bmatrix} &= \begin{bmatrix} G_x & B_x \\ B_y & G_y \end{bmatrix} \begin{bmatrix} E'_q \cos \delta \\ E'_q \sin \delta \end{bmatrix} - \begin{bmatrix} G_x & B'_x + B''_x \\ B'_y + B''_y & G_y \end{bmatrix} \begin{bmatrix} U_{Gx} \\ U_{Gy} \end{bmatrix} && \text{常数矩阵} \\ &= \begin{bmatrix} G_x & B_x \\ B_y & G_y \end{bmatrix} \begin{bmatrix} E'_q \cos \delta \\ E'_q \sin \delta \end{bmatrix} - \begin{bmatrix} G_x & B'_x \\ B'_y & G_y \end{bmatrix} \begin{bmatrix} U_{Gx} \\ U_{Gy} \end{bmatrix} - \begin{bmatrix} 0 & B'_x \\ B'_y & 0 \end{bmatrix} \begin{bmatrix} U_{Gx} \\ U_{Gy} \end{bmatrix} \\ \text{与 } \delta \text{ 无关} &= \begin{bmatrix} I_{Gx} \\ I_{Gy} \end{bmatrix} - \begin{bmatrix} 0 & B'_x \\ B'_y & 0 \end{bmatrix} \begin{bmatrix} U_{Gx} \\ U_{Gy} \end{bmatrix} & B'_x &= (x_q + x'_d) / (2x'_d x_q) & B'_y &= -B'_x \\ \text{但与 } U_G \text{ 有关} & & B''_x &= -[(x_q - x'_d) \cos 2\delta] / (2x'_d x_q) & B''_y &= B''_x \end{aligned}$$

## 7.4 电力系统静态稳定

### 7.4.1 静态稳定性分析的基本方法

#### 1. 简单系统静态稳定性分析的同步功率系数法

静态稳定的实用判据  $\frac{dP_E}{d\delta} > 0$

$$\text{同步功率系数 } \frac{dP_E}{d\delta} = \frac{E_q U}{x_{dE}} \cos \delta \text{ 越大, 稳定性} \uparrow$$

$$\text{储备系数 } k_p = \frac{P_{max} - P_0}{P_0} \quad \left\{ \begin{array}{l} \text{正常运行 } 15\% \sim 20\% \\ \text{事故后 } 10\% \end{array} \right.$$

#### 2. 小干扰法

非线性微分方程组  $\rightarrow$  线性化

$$\text{阻尼比 } \zeta_p = \frac{-\sigma_k}{\sqrt{\omega_k^2 + \omega_k^2}}$$

#### 7.4.2 简单由力系统的静态稳定性分析

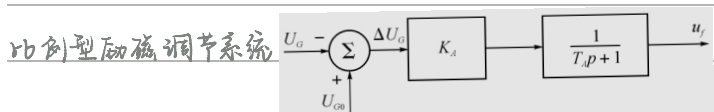
## 1. 系统的状态方程

$$\textcircled{1} \quad \frac{d\delta}{dt} = (\omega - 1)\omega_0$$

$$\textcircled{D} \quad \frac{d\omega}{dt} = \frac{1}{T_J} [P_T - P_E - D(\omega - 1)] \quad P_E = P_{E'_q} = \frac{E'_q U}{x'_{d\omega}} \sin \delta - \frac{U^2}{2} \frac{x_q - x'_d}{x'_{d\omega} x_q} \sin 2\delta$$

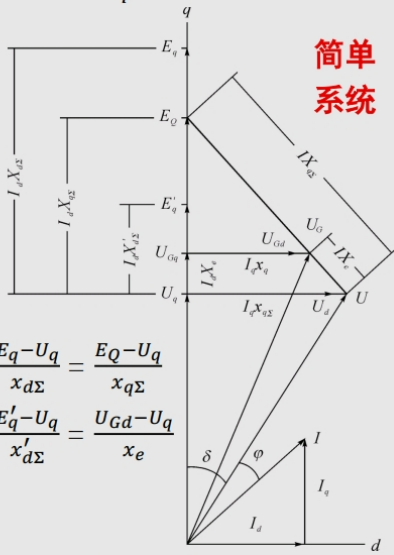
$$\textcircled{3} \quad T'_{do} \frac{dE'_q}{dt} = E_{qe} - E_q \quad \leftarrow \text{由励磁线圈组成电压方程式}$$

强制空载优势



$$④ T_A \frac{dE_{qe}}{dt} = -E_{qe} + K_A (U_{G0} - U_G)$$

2.  $\Delta P_{Eq}$ 、 $\Delta E_{Eq}$ 、 $\Delta U_a$  的 6 个线性化系数



$$I_d = \frac{E_q - U_q}{x_{d\Sigma}} = \frac{E_Q - U_q}{x_{q\Sigma}}$$

$$= \frac{E'_q - U_q}{x'_{d\Sigma}} = \frac{U_{Gd} - U_q}{x_e}$$

$$\boxed{\Delta P_{E'_q}} = \frac{\partial P_{E'_q}}{\partial \delta} \Delta \delta + \frac{\partial P_{E'_q}}{\partial E'_q} \Delta E'_q = K_1 \Delta \delta + K_2 \Delta E'_q$$

$$K_1 = \left[ S_{E'_q} \right] \triangleq \frac{\partial P_{E'_q}}{\partial \delta} = \frac{E'_q U}{x'_{d\Sigma}} \cos \delta - U^2 \frac{x_q - x'_d}{x'_{d\Sigma} x_{q\Sigma}} \cos 2\delta , \quad K_2 \triangleq \frac{\partial P_{E'_q}}{\partial E'_q} = \frac{U}{x'_{d\Sigma}} \sin \delta$$

### 同步功率系数

由于  $E_q = U_q + x_{d\Sigma} I_d$ ,  $E'_q = U_q + x'_{d\Sigma} I_d$ ,

故有  $E_q = \frac{x_{d\Sigma}}{x'_{d\Sigma}} E'_q - \frac{x_d - x'_d}{x'_{d\Sigma}} U \cos\delta$ , 从而

$$\boxed{\Delta E_q} = \frac{\partial E_q}{\partial E'_q} \Delta E'_q + \frac{\partial E_q}{\partial \delta} \Delta \delta = \frac{1}{K_3} \Delta E'_q + K_4 \Delta \delta$$

$$\frac{1}{K_3} \triangleq \frac{\partial E_q}{\partial E'_q} = \frac{x_{d\Sigma}}{x'_{d\Sigma}}, \quad K_4 \triangleq \frac{\partial E_q}{\partial \delta} = \frac{x_d - x'_d}{x'_{d\Sigma}} U \sin\delta$$

由于  $U_{Gd} = x_q I_q = x_q \frac{U_d}{x_{q\Sigma}} = \frac{x_q}{x_{q\Sigma}} U \sin\delta$ ,

$$U_{Gq} = U_q + (x_{d\Sigma} - x_d) I_d = U_q + (x_{d\Sigma} - x_d) \frac{E'_q - U_q}{x'_{d\Sigma}} = \frac{x'_d}{x'_{d\Sigma}} U \cos\delta + \frac{x_{d\Sigma} - x_d}{x'_{d\Sigma}} E'_q$$

而  $U_G^2 = U_{Gd}^2 + U_{Gq}^2$ , 故  $\boxed{\Delta U_G} = \frac{\partial U_G}{\partial \delta} \Delta \delta + \frac{\partial U_G}{\partial E'_q} \Delta E'_q = K_5 \Delta \delta + K_6 \Delta E'_q$

$$K_5 \triangleq \frac{\partial U_G}{\partial \delta} = \frac{U_{Gd}}{U_G} \frac{x_q}{x_{q\Sigma}} U \cos\delta - \frac{U_{Gq}}{U_G} \frac{x'_d}{x'_{d\Sigma}} U \sin\delta, \quad K_6 \triangleq \frac{\partial U_G}{\partial E'_q} = \frac{U_{Gq}}{U_G} \frac{x_{d\Sigma} - x_d}{x'_{d\Sigma}}$$

### 3. 静态稳定性分析

(1) 不考虑自动励磁调节器  $(E_q \text{ 或 } E'_q \text{ 恒定 })$ ,  $\frac{dE_q}{dt} = 0$  去④  $\left\{ \begin{array}{l} \frac{d\delta}{dt} = (\omega - 1) \alpha_0 \\ \frac{d\omega}{dt} = \frac{1}{T_J} [P_T - P_{E'_q} - D(\omega - 1)] \end{array} \right.$

(2) 不计励磁绕组的磁滞暂态过程  $E'_q \text{ 恒定 }$ ,  $\frac{dE'_q}{dt} = 0$  去③

a) 不计发电机的阻尼作用(二阶)  $D = 0$

$$\Delta E'_q = 0, \text{ 故 } \Delta P_{E'_q} = K_1 \Delta \delta + K_2 \Delta E'_q = K_1 \Delta \delta$$

二阶系统的增量方程  $\begin{bmatrix} \frac{d\Delta\delta}{dt} \\ \frac{d\Delta\omega}{dt} \end{bmatrix} = \begin{bmatrix} 0 & \omega_0 \\ -\frac{K_1}{T_J} & 0 \end{bmatrix} \begin{bmatrix} \Delta\delta \\ \Delta\omega \end{bmatrix} = A \begin{bmatrix} \Delta\delta \\ \Delta\omega \end{bmatrix}$

特征根  $\lambda_{12} = \pm \sqrt{-\frac{\omega_0 K_1}{T_J}} = \pm j\omega \quad \omega = \sqrt{\frac{\omega_0 K_1}{T_J}} \text{ 自由振荡角频率}$

$\left\{ \begin{array}{l} K_1 > 0 \text{ 等幅振荡} \\ K_1 < 0 \text{ 存在正根, T, 非周期性地失去稳定} \end{array} \right.$

b) 计及发电机的阻尼作用(二阶)  $D \neq 0$

二阶系统的增量方程  $\begin{bmatrix} \frac{d\Delta\delta}{dt} \\ \frac{d\Delta\omega}{dt} \end{bmatrix} = \begin{bmatrix} 0 & \omega_0 \\ -\frac{K_1}{T_J} & -\frac{D}{T_J} \end{bmatrix} \begin{bmatrix} \Delta\delta \\ \Delta\omega \end{bmatrix} = A \begin{bmatrix} \Delta\delta \\ \Delta\omega \end{bmatrix}$

$$\text{特征根 } \lambda_{12} = -\frac{D}{2T_J} \pm \frac{1}{2T_J} \sqrt{D^2 - 4\omega_0 T_J K_1}$$

静态稳定性判据  $D > 0, K_1 > 0$

## ② 计及励磁绕组的电磁暂态过程(三阶)

$$\begin{cases} \frac{d\delta}{dt} = (\omega - 1)\omega_0 \\ \frac{d\omega}{dt} = \frac{1}{T_J} (P_T - P_{E'_q}) \\ T'_{d0} \frac{dE'_q}{dt} = E_{qe} - E_q \end{cases}$$

## (2) 考虑自动励磁调节器

$$\begin{cases} \frac{d\delta}{dt} = (\omega - 1)\omega_0 \\ \frac{d\omega}{dt} = \frac{1}{T_J} (P_T - P_{E'_q}) \\ T'_{d0} \frac{dE'_q}{dt} = E_{qe} - E_q \\ T_A \frac{dE_{qe}}{dt} = -E_{qe} + K_A (U_{G0} - U_G) \end{cases}$$

## ① $T_A = 0$

增量方程

$$\begin{bmatrix} \Delta \dot{\delta} \\ \Delta \dot{\omega} \\ \Delta \dot{E}'_q \end{bmatrix} = \begin{bmatrix} 0 & \omega_0 & 0 \\ -\frac{K_1}{T_J} & 0 & -\frac{K_2}{T_J} \\ -\frac{1}{T'_{d0}} (K_4 + K_A K_5) & 0 & -\frac{1}{T'_{d0}} \left( \frac{1}{K_3} + K_A K_6 \right) \end{bmatrix} \begin{bmatrix} \Delta \delta \\ \Delta \omega \\ \Delta E'_q \end{bmatrix}$$

稳定性判据

$a_1 = \frac{1+K_3 K_A K_6}{T'_{d0} K_3} > 0$	$a_3 = \frac{\omega_0}{T'_{d0} T_J} \left[ \frac{K_1}{K_3} - K_2 K_4 \right] + K_A (K_1 K_6 - K_2 K_5) > 0$
$a_2 = \frac{\omega_0 K_1}{T_J} > 0$	$\Delta_2 = a_1 a_2 - a_0 a_3 = \frac{\omega_0 K_2}{T'_{d0} T_J} (K_4 + K_A K_5) > 0$

$K_A, K_1, K_6 > 0, \delta_0 \in (0^\circ, 180^\circ) \text{ 时 } K_2, K_4 > 0$

$$\begin{cases} K_5 < 0 \\ K_1 = \frac{\partial P_{E'_q}}{\partial \delta} \end{cases}$$

## 静态稳定性判据

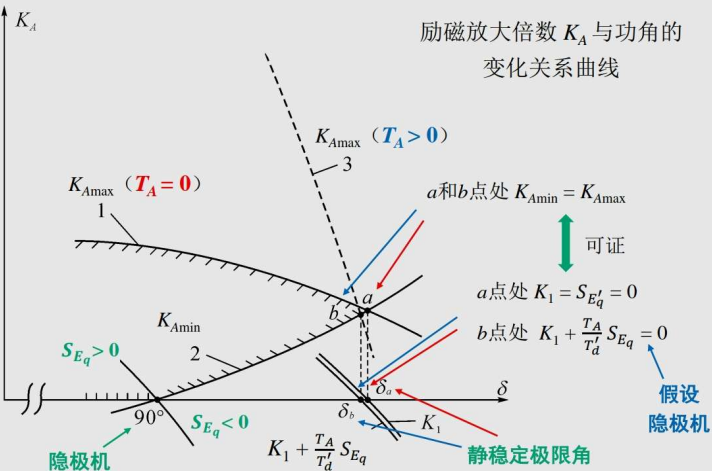
$$K_1 > 0$$

$$K_A > -\frac{K_1 - K_2 K_3 K_4}{K_3 (K_1 K_6 - K_2 K_5)} = K_{Amin} \quad (\text{励磁调节器放大倍数的下限值})$$

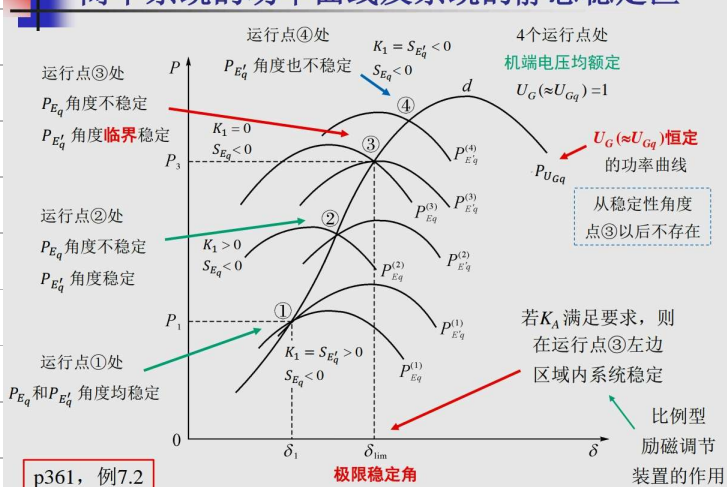
$$K_{Amin} \leq K_A \leq K_{Amax}$$

$$K_A < -\frac{K_4}{K_5} = K_{Amax} \quad (\text{励磁调节器放大倍数的上限值})$$

# 励磁放大倍数 $K_A$ 与功角的关系



## 简单系统的功率曲线及系统的静态稳定区



②  $T_A > 0$

$$\begin{bmatrix} \Delta \dot{\delta} \\ \Delta \dot{\omega} \\ \Delta \dot{E}'_q \\ \Delta \dot{E}_{qe} \end{bmatrix} = \begin{bmatrix} 0 & \omega_0 & 0 & 0 \\ -\frac{K_1}{T_J} & 0 & -\frac{K_2}{T_J} & 0 \\ -\frac{K_4}{T'_{d0}} & 0 & -\frac{1}{K_J T'_{d0}} & \frac{1}{T'_{d0}} \\ -\frac{K_A K_5}{T_A} & 0 & -\frac{K_A K_6}{T_A} & -\frac{1}{T_A} \end{bmatrix} \begin{bmatrix} \Delta \delta \\ \Delta \omega \\ \Delta E'_q \\ \Delta E_{qe} \end{bmatrix} = A \begin{bmatrix} \Delta \delta \\ \Delta \omega \\ \Delta E'_q \\ \Delta E_{qe} \end{bmatrix}$$

励磁机时的稳定性条件

$$K_1 + \frac{T_A}{T'_d} S_{Eq} > 0 \text{ 且 } K_{Amin} \leq K_A \leq K_{Amax}$$

### 7.4.3 多机电力系统的静态稳定性分析

采用  $E'$  恒定，电抗为  $X_d'$  的二阶模型

不计阻尼时，发电机的运动方程

$$\frac{d\delta_i}{dt} = (\omega_i - 1)\omega_0$$

$$\frac{d\omega_i}{dt} = \frac{1}{T_{Ji}} (P_{Ti} - P_{Ei}) \quad \rightarrow \quad \frac{d^2\delta_i}{dt^2} = \frac{1}{T_{Ji}} (P_{Ti} - P_{Ei})$$

多机电力系统的  $P_{Ei}$

$$P_{Ei} = E_i^2 G_i + \sum_{j=1, j \neq i}^m E_j |Y_j| \sin(\delta_j + \beta_{ij})$$

这里的  $E$  实为  $E'$

少全微分

$$|\Delta P_{Ei}| = \left| \frac{\partial P_{Ei}}{\partial \delta_i} \Delta \delta_i + \sum_{j=1, j \neq i}^m \frac{\partial P_{Ei}}{\partial \delta_j} \Delta \delta_j \right| = K_{ii} \Delta \delta_i + \sum_{j=1, j \neq i}^m K_{ij} \Delta \delta_j$$

其中， $K_{ii} \triangleq \frac{\partial P_{Ei}}{\partial \delta_i}$ ,  $K_{ij} \triangleq \frac{\partial P_{Ei}}{\partial \delta_j}$ ，也称同步功率系数。

### 7.5 电力系统暂态稳定性

大扰动 一短路故障最严重

假设：

- 忽略发电机定子绕组和电力网中**电磁暂态过程**的影响，只考虑**交流**系统中**基波**分量电压、电流和功率以及发电机**转子**绕组中**非周期**分量的变化。这样交流电力网中各元件的数学模型可以简单地用它们的**基波阻抗**电路来描述，电力网络可用**代数方程**表述。
- 不对称**故障或非全相运行期间，略去发电机定子回路基波**负序**分量电压、电流对电磁转矩的影响。至于基波**零序**分量电流，由于一般不能流过定子绕组，故无需考虑。因此，在发生不对称故障时，电力网可用**正序增广网络**表示。

数学模型简化 ① 发电机采用  $E'$  恒定或  $E'$  恒定

② 原动机输入机械功率恒定

③ 负荷以恒定阻抗表示

# 7.5.1 简单系统暂态稳定性分析的等面积定则

## 1. 物理分析过程

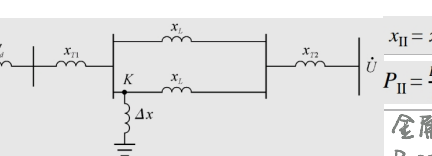
正常运行时



$$x_I = x'_d + x_{T1} + x_L/2 + x_{T2}$$

$$P_I = \frac{E'U}{x_I} \sin \delta = P_{Im} \sin \delta$$

故障中



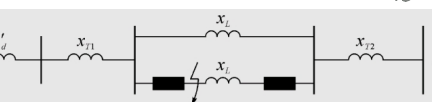
$$x_{II} = x'_d + x_{T1} + x_L/2 + x_{T2} + \frac{(x'_d + x_{T1})(x_L/2 + x_{T2})}{\Delta x}$$

$$P_{II} = \frac{E'U}{x_{II}} \sin \delta = P_{IIm} \sin \delta$$

金属性三相短路,  $\Delta x = 0, x_{II} = \infty$ ,

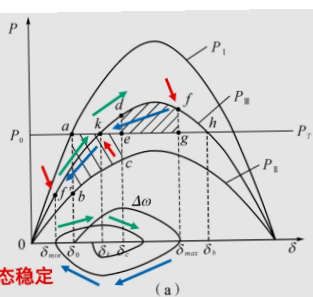
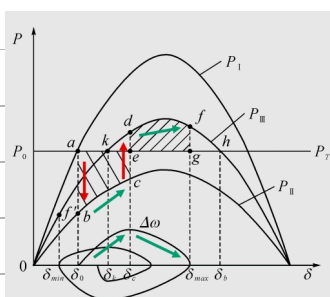
$$P_{II} = 0$$

故障后

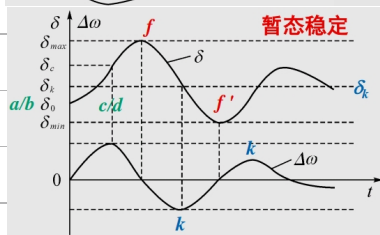


$$x_{III} = x'_d + x_{T1} + x_L + x_{T2}$$

$$P_{III} = \frac{E'U}{x_{III}} \sin \delta = P_{IIIIm} \sin \delta$$

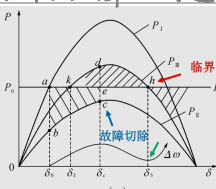


暂态稳定



暂态稳定

切除故障时间过长 → 失步

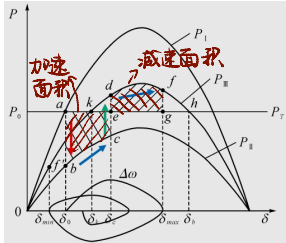


暂态不稳定

(b)

(a)

## 2. 等面积定则



$$\text{加} S = \text{减} S$$

最大减速面积 edfhe

$\delta_c \downarrow$ , 最大减  $S \uparrow$

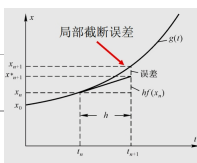
$$\text{极限切除角 } \delta_{cm} = \arccos \frac{P_T(\delta_h - \delta_0) + P_{IIIm} \cos \delta_h - P_{IIm} \cos \delta_0}{P_{IIIm} - P_{IIm}}$$

## 7.5.2 暂态稳定性分析的数值积分方法

### 1. 显式积分算法

#### (1) 欧拉法

$$\frac{dx}{dt} = f(x) \quad x_{n+1} = x_n + h f(x_n)$$



$$\text{局部截断误差 } E_{n+1} \leq \frac{M}{2} h^2$$

全局截断误差与  $h$  成正比

但步长引起舍入误差

#### (2) 改进欧拉法

$$x_{n+1} = x_n + h \cdot \frac{f(x_n) + f(x_{n+1})}{2}$$

局部截断误差  $\propto h^3$ , 全局截断误差  $\propto h^2$

#### (1) 简单系统暂态稳定性计算的欧拉法

$$\frac{d\omega}{dt} = \frac{\omega_0}{T_J} (P_T - P_m \sin \delta) = \alpha \rightarrow \omega_{n+1} = \omega_n + \alpha_n \Delta t$$

$$\frac{d\delta}{dt} = \omega - 1 = \Delta \omega$$

$$\delta_{n+1} = \delta_n + \Delta \omega_n \Delta t$$

$$\Delta \omega_{n+1} = \Delta \omega_n + \alpha_n \Delta t$$

$$\Delta \delta_{n+1} = \Delta \omega_n \Delta t$$

## (2) 简单系统暂态稳定计算的改进欧拉法

### 2. 隐式积分算法

$$\frac{dx}{dt} = f(x) \quad x_{n+1} = x_n + \frac{h}{2} [f(x_n) + f(x_{n+1})]$$

### 3. 微分-代数方程组的数值解法

$$\begin{cases} \frac{dx}{dt} = f(x, y) \\ 0 = g(x, y) \end{cases} \xrightarrow{\text{隐式梯形积分}} \begin{cases} x_{n+1} = x_n + \frac{h}{2} [f(x_n, y_n) + f(x_{n+1}, y_{n+1})] \\ 0 = g(x_{n+1}, y_{n+1}) \end{cases}$$

「联立求解法」无直接误差

「交替求解法」有...、...

### 4. 数值积分法暂态稳定计算的基本流程

## 7.5.3 暂态稳定分析的李雅普诺夫直接法浅述

### 1. 直接法的概念

临界能量  $V_{cr}$      $V > V_{cr}$  不稳定

稳定性裕度  $V_{cr} - V$

特点：直接判别稳定性

### 2. 简单系统的直接法暂稳分析

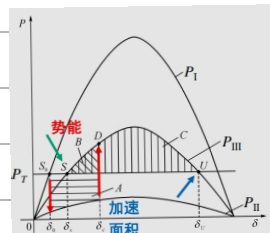
$$\text{动能 } V_k^c = \text{加速面积 } S_A \Rightarrow V^c = V_k^c + V_p^c = S_A + S_B = S_{(A+B)}$$

$$\text{势能 } V_p^c = S_B$$

最大减速面积  $S_c$

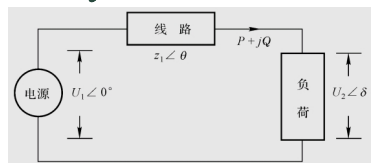
$$\text{临界能量 } V_{cr} = S_B + S_c$$

$$\text{规格化的稳定性度 } \Delta V_n = \frac{V_{cr} - V^c}{V_k^c}$$



## 7.6 提高电力系统稳定性措施

## 7.7 电力系统的电压稳定



$$P = \frac{U_1 U_2}{Z_l} \cos(\delta + \theta) - \frac{U_2^2}{Z_l} \cos \theta$$

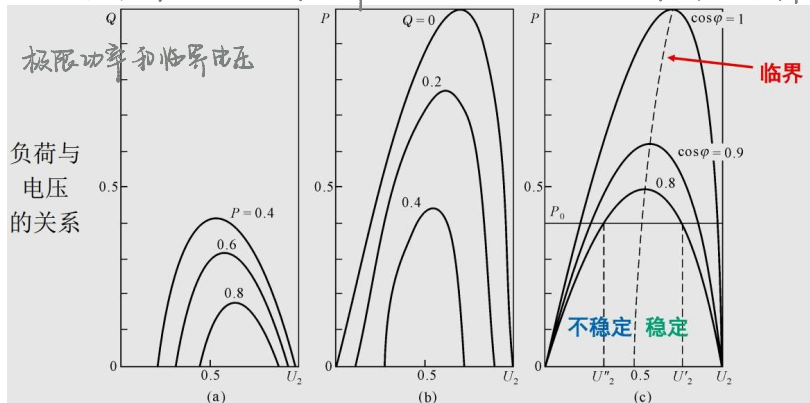
$$Q = \frac{U_1 U_2}{Z_l} \sin(\delta + \theta) - \frac{U_2^2}{Z_l} \sin \theta$$

$$U_2^4 + [2Z_l(P\cos\theta + Q\sin\theta) - U_1^2]U_2^2 + [Z_l^2(P^2 + Q^2)] = 0$$

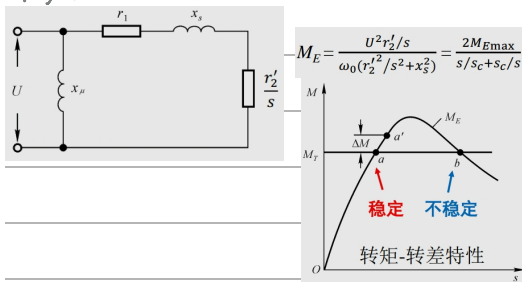
同一负荷下,  $U_2$  有两解, 大的  $U_2'$  静态稳定, 小的  $U_2''$  不稳定。

负荷  $\uparrow$ ,  $U_2' \downarrow$ ,  $U_2'' \uparrow \rightarrow$  一个解(临界)  $\rightarrow$  无解(电压崩溃)

增至  $P_{max}$  或  $Q_{max}$  时,  $U_2$  仅一解,  $U_2 = U_2''$ ,  $dP/dU_2 = 0$  or  $dQ/dU_2 = 0 \Rightarrow$  静稳判据



## 异步电动机运行点的小干扰稳定性



## 电压稳定与无功功率的供需平衡

